

Aula 27 (29/Mar)

Na aula de hoje:

- * Revisão da aula anterior.
- * Espectro de energias do OHD em 1D.
- * Auto-estados do OHD 1D.
- * Valores médios e desvio padrão de \hat{x} e \hat{p} .

—————//—————

Revisão da última aula

- * Revisão oscilador harmônico clássico.
- * Oscilador harmônico quântico em 1D.
- * Operadores de criação e de destruição.

—————//—————

Capítulo 7: Exemplos de Quantificação Canônica

7.1 Oscilador Harmônico Quântico em 1D

Na última aula demonstramos várias propriedades da base de auto-estados do

operador número, $\hat{N} = \hat{a}^+ \hat{a}$:

Lema 1: Os auto-val. de \hat{N} são positivos ou zero.

Lema 2: Seja $|\varphi_i\rangle$ auto-vec. de \hat{N} não nulo, então

(i) se $v=0$, então $\hat{a}|\varphi_i\rangle = 0$.

(ii) se $v>0$, então $\hat{a}|\varphi_i\rangle$ é ket não nulo que é auto-vec. de \hat{N} com auto-val. $v-1$.

Lema 3: Seja $|\varphi_i\rangle$ auto-vec. de \hat{N} não nulo,

(i) $\hat{a}^+|\varphi_i\rangle$ é sempre não nulo.

(ii) $\hat{a}^+|\varphi_i\rangle$ é auto-vec. de \hat{N} com auto-val. $v+1$.

Lema 4: O espectro de \hat{N} é composto por inteiros não negativos.

Lema 5: Todos os auto-estados de \hat{N} são não degenerados.

Nota: Podemos simplificar notação escrevendo os auto-vecs. de \hat{N} e \hat{H} como

$$|\varphi_n\rangle \longrightarrow |n\rangle$$

Assim, temos que neste base $\{|n\rangle\}$, que é uma base ortogonal de \mathcal{E} , podemos escrever o Hamiltoniano

$$\hat{H} = \hbar \omega \left(\hat{N} + \frac{1}{2} \right)$$

e os seus auto-energias como

$$\hat{H}|n\rangle = \hbar \omega \left(n + \frac{1}{2} \right) |n\rangle$$

ou seja, temos auto-energias E_n

$$\boxed{E_n = \hbar \omega \left(n + \frac{1}{2} \right)}$$

onde $n = 0, 1, 2, \dots$

Podemos representá-lo graficamente como



Note: Auto-vals igualmente espaçados.

Note: Estado menor energia $E_0 = \frac{\hbar\omega}{2} > 0$,
que é claramente diferente do caso
clássico onde temos $E = x_{\text{máx}}^2 \omega^2 m / 2$,
que se $x_{\text{máx}} \rightarrow 0$, será $E \rightarrow 0$.

Como devemos interpretar \hat{a} e \hat{a}^+ ?

↳ O operador \hat{a} destrói um quanta de
energia, $\hbar\omega$, do sist. quando actua
num auto-vec de \hat{N} , $|n\rangle$

↳ O operador \hat{a}^+ cria um quanta de
energia, $\hbar\omega$, no sistema quando ac-
tua num auto-vec de \hat{N} , $|n\rangle$.

7.1.3.3) Auto-estados do OHO em 1D

Os estados $|n\rangle$ estão normalizados?

↳ Por indução, começando por assumir que $\langle 0|0\rangle = 1$, temos

$$[\hat{a}, \hat{a}^\dagger] = \hat{1}$$

$$\langle 1|1\rangle = ? = \langle 0|\hat{a}\hat{a}^\dagger|0\rangle = \langle 0|\hat{N} + \hat{1}|0\rangle = \langle 0|1|0\rangle = 1$$

$$\langle 2|2\rangle = ? = \langle 1|\hat{a}\hat{a}^\dagger|1\rangle = \langle 1|\hat{N} + \hat{1}|1\rangle = 2\langle 1|1\rangle = 2$$

$$\langle 3|3\rangle = ? = \langle 2|\hat{a}\hat{a}^\dagger|2\rangle = \langle 2|\hat{N} + \hat{1}|2\rangle = 3\langle 2|2\rangle = 6$$

⋮

que podemos repetidamente concluir que resulta em

$$\langle n|n\rangle = ? = \langle n-1|\hat{a}\hat{a}^\dagger|n-1\rangle = \dots = n!$$

Vamos então introduzir novos auto-estados de \hat{N} normalizados

$$|\phi_n\rangle \equiv \frac{|n\rangle}{\sqrt{n!}}$$

Nota: O conjunto $\{|\phi_m\rangle\}$ é base orto-normal de \mathcal{E} ,

$$\langle \phi_m | \phi_m \rangle = \delta_{mm}$$

$$\sum_m |\phi_m\rangle \langle \phi_m| = \hat{1}$$

Nota: A acções \hat{a} e \hat{a}^+ neste conjunto $\{|\phi_m\rangle\}$ é ligeiramente diferente.

$$\hookrightarrow \hat{a}^+ |\phi_m\rangle = \hat{a}^+ \frac{|\phi_m\rangle}{\sqrt{m!}} = \frac{|\phi_{m+1}\rangle}{\sqrt{m!}} = \sqrt{m+1} \frac{|\phi_{m+1}\rangle}{\sqrt{(m+1)!}}$$

$$\Rightarrow \boxed{\hat{a}^+ |\phi_m\rangle = \sqrt{m+1} \cdot |\phi_{m+1}\rangle}$$

$$\begin{aligned} \hookrightarrow \hat{a} |\phi_m\rangle &= \hat{a} \frac{\hat{a}^+ |\phi_{m-1}\rangle}{\sqrt{m!}} = \frac{1}{\sqrt{m!}} (\hat{a}^+ \hat{a} + \hat{1}) |\phi_{m-1}\rangle \\ &= \frac{m-1+1}{\sqrt{m!}} |\phi_{m-1}\rangle \end{aligned}$$

$$\Rightarrow \boxed{\hat{a} |\phi_m\rangle = \sqrt{m} |\phi_{m-1}\rangle}$$

Nota: Nesta representação $\{|\phi_m\rangle\}$ temos

$$\hat{Q} = \begin{bmatrix} 0 & \sqrt{1} & & & \\ 0 & 0 & \sqrt{2} & & \\ & 0 & 0 & \sqrt{3} & \\ & & 0 & 0 & \ddots \\ 0 & & & & \ddots \end{bmatrix}$$

$$\begin{bmatrix} |\phi_0\rangle \\ |\phi_1\rangle \\ |\phi_2\rangle \\ \vdots \end{bmatrix}$$

$$\hat{Q}^+ = \begin{bmatrix} 0 & 0 & & & \\ \sqrt{1} & 0 & & & \\ & \sqrt{2} & 0 & & \\ & & \sqrt{3} & 0 & \\ & & & \ddots & \ddots \\ 0 & & & & \ddots \end{bmatrix}$$

$$\hat{X} = \sqrt{\frac{\hbar}{2m\omega}} (\hat{Q}^+ + \hat{Q}) = \sqrt{\frac{\hbar}{2m\omega}} \begin{bmatrix} 0 & \sqrt{1} & & & \\ \sqrt{1} & 0 & \sqrt{2} & & \\ & \sqrt{2} & 0 & \sqrt{3} & \\ & & \sqrt{3} & 0 & \ddots \\ 0 & & & & \ddots \end{bmatrix}$$

$$\hat{P} = \sqrt{\frac{m\omega\hbar}{2}} i(\hat{Q}^+ - \hat{Q}) = \sqrt{\frac{m\omega\hbar}{2}} \begin{bmatrix} 0 & -i\sqrt{1} & & & \\ i\sqrt{1} & 0 & -i\sqrt{2} & & \\ & i\sqrt{2} & 0 & -i\sqrt{3} & \\ & & i\sqrt{3} & 0 & \ddots \\ 0 & & & & \ddots \end{bmatrix}$$

Vamos expressar os auto-estados $|\phi_n\rangle$ na representação $\{|x\rangle\}$ e obter os coeficientes

$$\begin{aligned} |\phi_n\rangle &= \int_{-\infty}^{+\infty} dx |x\rangle \underbrace{\langle x | \phi_n \rangle}_{\equiv \phi_n(x)} \\ &= \int_{-\infty}^{+\infty} \phi_n(x) |x\rangle, \end{aligned}$$

isto é, vamos determinar os $\phi_n(x)$.

Na última aula obtivemos $\phi_0(x)$, escrevendo $\hat{Q}|\phi_0\rangle = 0$ na representação $\{|x\rangle\}$,

$$\langle x | \frac{1}{\sqrt{2}} \left[\sqrt{\frac{m\omega}{\hbar}} \hat{X} + \frac{i}{\sqrt{m\omega\hbar}} \hat{P} \right] |\phi_0\rangle = 0$$

$$\Rightarrow \langle x | \frac{1}{\sqrt{2}} \sqrt{\frac{m\omega}{\hbar}} \left[\hat{X} + \frac{i}{\hbar} \hat{P} \right] |\phi_0\rangle = 0$$

$$\Rightarrow \left[x + \frac{i}{\hbar} \left(-i\hbar \frac{d}{dx} \right) \right] \phi_0(x) = 0$$

$$\Rightarrow \left(x + \frac{d}{dx} \right) \phi_0(x) = 0$$

$$\Rightarrow \phi_0(x) = C_0 \cdot e^{-\frac{m\omega}{2\hbar} x^2}$$

onde podemos mostrar que $C_0 = \left(\frac{m\omega}{\pi\hbar}\right)^{\frac{1}{4}}$,
imposto a normalização de $\phi_0(x)$.

Podemos obter $\phi_n(x)$ recursivamente,
aplicando \hat{Q}^+ a $\phi_0(x)$,

$$\hat{Q}^+ |\phi_{n-1}\rangle = \sqrt{n} |\phi_n\rangle$$

$$\Rightarrow |\phi_n\rangle = \frac{\hat{Q}^+}{\sqrt{n}} |\phi_{n-1}\rangle$$

que podemos escrever

$$|\phi_n\rangle = \frac{(\hat{Q}^+)^n}{\sqrt{n!}} |\phi_0\rangle$$

que na representação das posições, $\{|x\rangle\}$
fica

$$\langle x | \phi_n \rangle = \langle x | \frac{(\hat{Q}^+)^n}{\sqrt{n!}} | \phi_0 \rangle \quad \frac{i}{\sqrt{m\omega\hbar}} \left(-i\hbar \frac{d}{dx} \right) = \sqrt{\frac{\hbar}{m\omega}} \frac{d}{dx}$$

$$\Rightarrow \phi_n(x) = \frac{1}{\sqrt{n!}} \frac{1}{\sqrt{2^n}} \cdot \left[\sqrt{\frac{m\omega}{\hbar}} \hat{x} - \frac{i}{\sqrt{m\omega\hbar}} \hat{p} \right]^n \cdot \phi_0(x)$$

$$(\Rightarrow) \phi_n(x) = \frac{1}{\sqrt{n!}} \sqrt{\frac{\hbar}{2m\omega}} \left[\frac{m\omega}{\hbar} x - \frac{d}{dx} \right]^n \underbrace{\phi_0(x)}_{\parallel \left(\frac{m\omega}{\pi\hbar}\right)^{1/4} \cdot e^{-\frac{m\omega}{2\hbar}x^2}}$$

Podemos então obter, por ex., $\phi_1(x)$ e $\phi_2(x)$,

$$\begin{aligned} \hookrightarrow \phi_1(x) &= \sqrt{\frac{\hbar}{2m\omega}} \cdot \left(\frac{m\omega}{\pi\hbar}\right)^{1/4} \cdot \left(\frac{m\omega}{\hbar} x - \frac{d}{dx}\right) e^{-\frac{m\omega}{2\hbar}x^2} \\ &= \underbrace{\left(\frac{m\omega}{\pi\hbar}\right)^{1/4}}_{\equiv C_0} \cdot \sqrt{\frac{2m\omega}{\hbar}} \cdot x \cdot e^{-\frac{m\omega}{2\hbar}x^2} \quad \rightarrow \text{polinômio grau 1} \end{aligned}$$

$$\begin{aligned} \hookrightarrow \phi_2(x) &= \sqrt{\frac{1}{2} \left(\frac{\hbar}{2m\omega}\right)^2} \cdot C_0 \cdot \left(\frac{m\omega}{\hbar} x - \frac{d}{dx}\right)^2 \cdot e^{-\frac{m\omega}{2\hbar}x^2} \\ &\quad \left(\frac{m\omega}{\hbar}\right)^2 x^2 - \frac{m\omega}{\hbar} \left(x \frac{d}{dx} + 1 + x \frac{d}{dx}\right) + \frac{d^2}{dx^2} \\ &= \dots = \frac{C_0}{\sqrt{2}} \underbrace{\left(\frac{2m\omega}{\hbar} x^2 - 1\right)}_{\rightarrow \text{polinômio grau 2}} e^{-\frac{m\omega}{2\hbar}x^2} \end{aligned}$$

Podemos escrever relação recorrência entre n 's sucessivos como

$$\phi_{n+1}(x) = \frac{1}{\sqrt{n+1}} \sqrt{\frac{\hbar}{2m\omega}} \cdot \left(\frac{m\omega}{\hbar} x - \frac{d}{dx}\right) \phi_n(x)$$

que podemos simplificar definindo

$$\chi \equiv \sqrt{\frac{m\omega}{\hbar}} \cdot x,$$

$$\phi_{n+1}(x) = \frac{1}{\sqrt{2(n+1)}} \cdot \left(x - \frac{d}{dx} \right) \cdot \phi_n(x)$$

Se escrevermos $\phi_n(x)$ como

$$\phi_n(x) = C_n \cdot H_n(x) \cdot e^{-x^2/2},$$

onde C_n é constante, H_n é polinômio de grau n (que têm paridade bem definida, dada por $(-1)^n$, tal que: n par \Rightarrow polinômio par; se n ímpar \Rightarrow polinômio ímpar).

Usando duas últimas eqs podemos escrever

$$C_{n+1} \cdot H_{n+1}(x) \cdot e^{-x^2/2} = \frac{1}{\sqrt{2(n+1)}} \left(x - \frac{d}{dx} \right) \cdot (C_n \cdot H_n(x) \cdot e^{-x^2/2})$$

de onde podemos concluir que

$$C_{n+1} = \frac{C_n}{\sqrt{2(n+1)}}$$

$$H_{n+1}(x) = 2x \cdot H_n(x) - \frac{d}{dx} H_n(x)$$

Esta última fórmula define os polinô

polinômios de Hermite,

$$H_0 = 1$$

$$H_1 = 2x$$

$$H_2 = 4x^2 - 2$$

$$H_3 = 8x^3 - 12x$$

\vdots

Em resumo teremos então

Estado Normalizado	Componentes na representação $ x\rangle$	Paridade	Energia
$ \Phi_0\rangle = 0\rangle$	$\Phi_0(x) = C_0 e^{-x^2/2}$	Par	$\hbar\omega/2$
$ \Phi_1\rangle = 1\rangle$	$\Phi_1(x) = C_1(2x)e^{-x^2/2}$	Ímpar	$3\hbar\omega/2$
$ \Phi_2\rangle = 2\rangle/\sqrt{2}$	$\Phi_2(x) = C_2(4x^2 - 2)e^{-x^2/2}$	Par	$5\hbar\omega/2$
$ \Phi_3\rangle = 3\rangle/\sqrt{3!}$	$\Phi_3(x) = C_3(8x^3 - 12x)e^{-x^2/2}$	Ímpar	$7\hbar\omega/2$
...

$$x = \sqrt{\frac{m\omega}{\hbar}} \cdot x$$

Podemos representar graficamente estas funções de onda

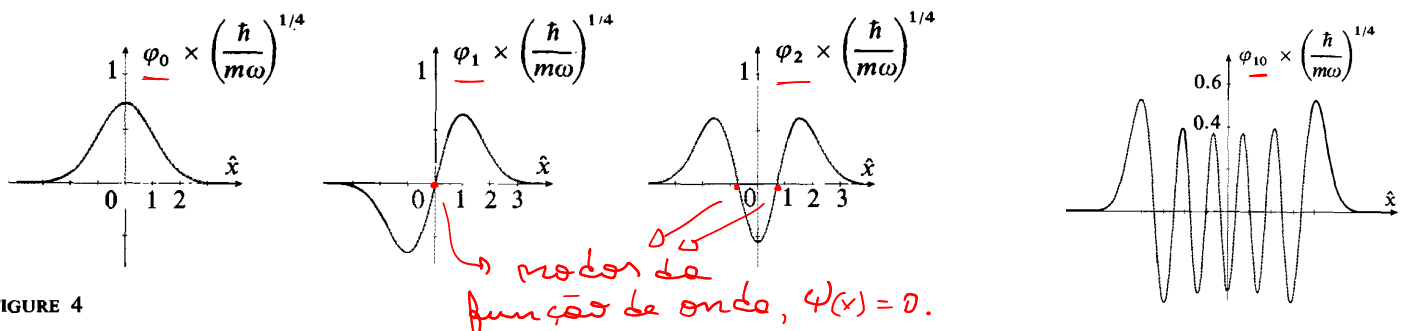


FIGURE 4

Wave functions associated with the first three levels of a harmonic oscillator.

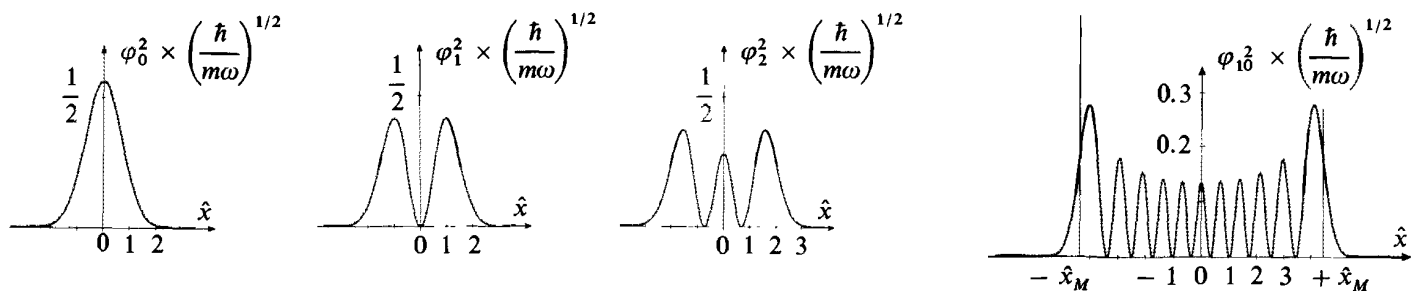
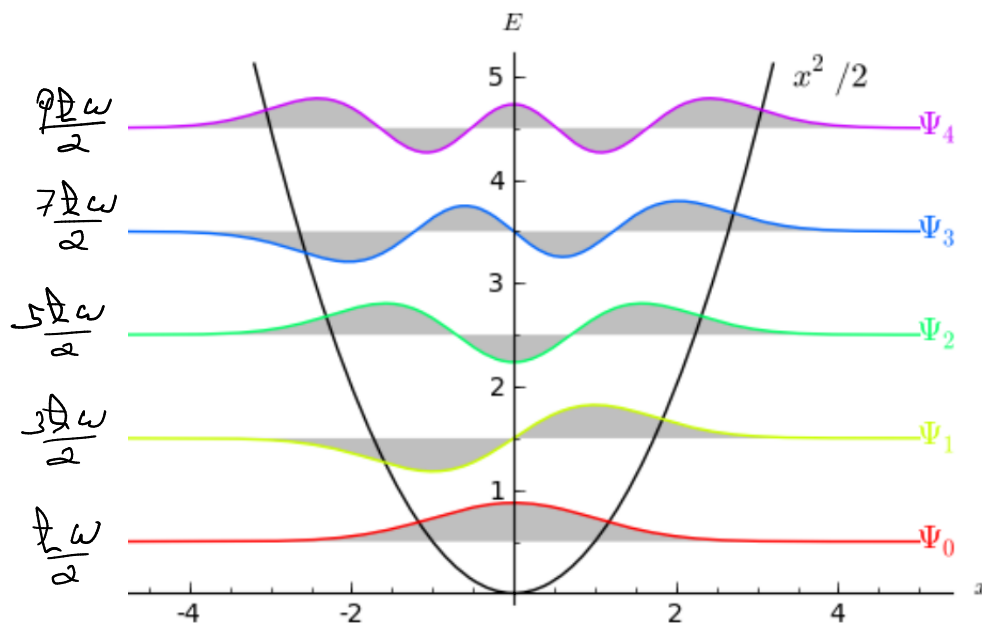


FIGURE 5

Probability densities associated with the first three levels of a harmonic oscillator.



Nota: Auto-energia aumenta com n , pois $E_n = \frac{1}{2}\hbar\omega(n + 1/2)$. Com o aumento de n a região em que a p.o. é não-nula também aumenta.

↳ Isto é consistente com a mec. Clássica, para o qual temos que $E = x_{\pi}^2 \cdot \frac{m}{2} \omega^2$, o que implica que se E aumenta, a amplitude x_{π} aumenta que é a máxima distância que a partícula pode ter da origem.

Note: Quando n aumenta, aumenta número nodos no f.o., i.e., os x onde $\psi(x) = 0$. Isso trazendo o aumento da energia cinética,

$$\langle E_c \rangle = \frac{1}{2m} \langle \hat{P}^2 \rangle = -\frac{\hbar^2}{2m} \int_{-\infty}^{+\infty} \phi_n^*(x) \frac{d^2}{dx^2} \phi_n(x) dx$$

pois mais pontos com $\psi(x) = 0$, resulta no aumento da curvatura do f.o., logo aumento $\langle E_c \rangle$.

↳ Isto também é consistente com a M. Clássica pois maior energia do sistema implica maior velocidade média ($E \propto x_{\pi}$ e $v \propto x_{\pi}$) logo maior $E_{\text{cin}} \text{ média}$.

Nota: F.O. têm maior amplitude nos máximos exteriores. Isto é uma manifestação do facto de em média a partícula passar mais tempo nos extremos da trajectória, pelo facto de ali a sua velocidade média ser $v \approx 0$, já que este reduz o seu momento.

7.1.4) Valor médio e desvio padrão de \hat{X} e \hat{P}

Como vimos anteriormente

$$\hat{X} = \sqrt{\frac{\hbar}{2m\omega}} (\hat{a}^+ + \hat{a})$$

$$\hat{P} = \sqrt{\frac{m\omega\hbar}{2}} (\hat{a}^+ - \hat{a})$$

que nos permite escrever elementos de matriz na repres. $\{|\phi_n\rangle\}$, como

$$\langle \phi_{n'} | \hat{X} | \phi_n \rangle = \sqrt{\frac{\hbar}{2m\omega}} (\sqrt{n+1} \cdot \delta_{n', n+1} + \sqrt{n} \cdot \delta_{n', n-1})$$

$$\langle \phi_{n'} | \hat{P} | \phi_n \rangle = \sqrt{\frac{m\omega\hbar}{2}} (\sqrt{n+1} \cdot \delta_{n', n+1} - \sqrt{n} \cdot \delta_{n', n-1})$$

Isso torna óbvio que para auto-estados $|\phi_m\rangle$ o valor esperado de \hat{X} e \hat{P} é

$$\langle \hat{X} \rangle = \langle \phi_m | \hat{X} | \phi_m \rangle = 0$$

$$\langle \hat{P} \rangle = \langle \phi_m | \hat{P} | \phi_m \rangle = 0$$

para $\forall m \in \mathbb{N}_0$.

Já o desvio padrão de \hat{X} é dado por

$$(\Delta x)^2 = \langle \hat{X}^2 \rangle - \langle \hat{X} \rangle^2 = \langle \hat{X}^2 \rangle$$

$$= \frac{\hbar}{2m\omega} \langle \phi_m | \underbrace{(\hat{Q}^+ + \hat{Q})^2}_{\langle (\hat{Q}^+)^2 + \hat{Q}^+ \hat{Q} + \underbrace{\hat{Q} \hat{Q}^+}_{\hat{Q}^+ \hat{Q} + \hat{1}} + \hat{Q}^2} | \phi_m \rangle$$

$$= \frac{\hbar}{2m\omega} \langle \phi_m | (\hat{Q}^+)^2 + 2\hat{Q}^+ \hat{Q} + \hat{1} + \hat{Q}^2 | \phi_m \rangle$$

$$= \frac{\hbar}{2m\omega} (2m + 1) = \frac{\hbar}{m\omega} (m + 1/2)$$

sendo o desvio padrão para \hat{P} dado por

$$\begin{aligned}
(\Delta p)^2 &= \langle \hat{p}^2 \rangle - \langle \hat{p} \rangle^2 = \langle \hat{p}^2 \rangle \\
&= -\frac{m\omega\hbar}{2} \langle \phi_n | (\hat{q}^+ - \hat{q}) | \phi_n \rangle \\
&= -\frac{m\omega\hbar}{2} \langle \phi_n | ((\hat{q}^+)^2 - 2\hat{q}^+\hat{q} - \hat{1} + \hat{q}^2) | \phi_n \rangle \\
&= m\omega\hbar \left(n + \frac{1}{2}\right)
\end{aligned}$$

Multiplicando os dois desvios padrões, Δx e Δp , obtemos relação incerteza de Heisenberg?

$$\begin{aligned}
\Delta x \cdot \Delta p &= \sqrt{\frac{\hbar}{m\omega} \left(n + \frac{1}{2}\right)} \cdot \sqrt{m\omega\hbar \left(n + \frac{1}{2}\right)} \\
&= \hbar \left(n + \frac{1}{2}\right) \geq \frac{\hbar}{2}
\end{aligned}$$

para $n = 0, 1, 2, \dots$, que obedece P. Incerteza.

Note: O limite inferior ocorre para $n=0$, o estado fundamental.

Nota: Ao contrário de π Clássica temos

$$\langle E_p \rangle = \langle \phi_0 | V(x) | \phi_0 \rangle = \frac{1}{2} m \omega^2 \langle \phi_0 | x^2 | \phi_0 \rangle$$

$$= \frac{m \omega^2}{2} \frac{\hbar}{m \omega} \frac{1}{2} = \frac{\hbar \omega}{4} = \frac{E_0}{2}$$

$$\langle E_c \rangle = \langle \phi_0 | \frac{P^2}{2m} | \phi_0 \rangle = \frac{1}{2m} \cdot m \omega \hbar \frac{1}{2} = \frac{\hbar \omega}{4} = \frac{E_0}{2}$$

ou seja

$$\langle E_p \rangle = \langle E_c \rangle = E_0/2$$

\nearrow T. kinetic

que trazem o facto de no estado fundamental a partícula quântica (do OHO em 1D) ter "algum movimento".

Como é a evolução dos valores médios?

Se estivermos num estado estacionário sabemos que valores médios serão constantes do movimento.

Mas e se tivermos sobreposições de estados estacionários?